

竖直薄板浸没在表面覆盖冰层 海水中时的水波散射*

P·马梯¹, P·拉克西特², S·巴内杰亚¹

(1. 迦达浦大学 力学系,加尔各答 700032,印度;

2. Deshapran Birendranath BOYS 研究所,S. P. 玛克赫吉路 198-B,加尔各答 700026,印度)

摘要: 研究在一片均匀薄冰所覆盖的深水中,浸没其间的竖直平板引起的水波散射,冰层看作弹性薄板.通过对障碍物前方的势函数微分,问题被归结为一个超奇异的积分方程,应用适当的 Green 积分定理,应用一个包含 Chebyshev 多项式的有限级数配置法,求解该积分方程.得到反射系数和透射系数的数值结果,并在不同的波数和覆盖冰层参数下,用图形表示出来.

关键词: 散射问题; 冰层覆盖的表面; Green 积分定理; 超奇异积分方程; 反射系数和透射系数

中图分类号: O353.2;P731.22 **文献标志码:** A

DOI: 10.3879/j.issn.1000-0887.2011.05.010

引 言

一个有趣的课题:线性水波和浮动薄板的相互作用,或许成为 20 世纪早期最简单的防波堤模型. Dean^[1] 对一个完全浸没在深水中并向下无限延伸的竖直薄板,研究其对水波的散射问题. 随后, Ursell^[2] 使用奇异积分方程的方法,得到部分沉浸在深水中的竖直障碍物,对水波散射问题的闭式解. Evans^[3] 应用复变函数理论,研究浸没在深水中的竖直板对水波的散射问题. 上面论述的工作,只有少数问题可以得到闭式解.

过去 10 年间,有关海洋波浪和海冰相互作用的话题,取得了极为重要的理论进展. 在极地地区,作为海洋和大气之间的边界,在全球气候的变化中,海冰的变化将扮演着风向标的角色. 海冰担当着双重作用:既是太阳光的屏幕,同时覆盖在海洋表面反射太阳光的光线,防止太阳光的辐射加热冰层下部的海水,同时防止海水的热量向大气上空逃逸,这个现象对于保护海洋生物有着重要意义. 因此,海冰作为地球的冷藏库冷却了地球,又防止从太阳光中吸收过多的热量而保护了地球. 极地遍布一大片连续覆盖的冰层,常常有波在冰层自由表面下方传播,水波的振幅导致覆盖冰层的弯曲,就是一个重要的研究课题. 覆盖冰层的弯曲归因于冰层的弹性性质,将连续一片的薄冰看作一块弹性薄板. 关于海洋波浪和海冰相互作用的课题,已经有许

* 收稿日期: 2010-10-28; 修订日期: 2011-02-18

基金项目: 印度科学与工业研究理事会 CSIR 资助项目; 印度科技部 DST 基金资助项目(SR/SY/MS: 521/08)

作者简介: Sudeshna Banerjea(联系人. E-mail: zenkour@sci.kfs.edu.eg).

本文原文为英文,黄锋译,张禄坤校.

多重要研究(参见 Fox 和 Squire 的文献[4], Squire 的文献[5], Chung 和 Fox 的文献[6], Linton 和 Chung 的文献[7], Chakrabarti 的文献[8], Gayen 等人的文献[9]).在数学上,作为覆盖冰层的边值问题(BVP),覆盖冰层条件中包括势函数的五阶导数,控制方程是二阶的偏微分方程.

关于海洋波浪和覆盖冰层相互作用的研究文献,限制为一个浸没于冰层下方的物体,与深水中浮动的冰层之间的相互作用.近年来, Das 和 Mandal^[10]在对海洋波浪和海冰相互作用问题的研究,存在一长排水平的圆柱体.最近, Maiti 和 Mandal^[11]考虑了这样的问题,障碍物是一块竖直的薄板,按一个角度竖直向下无限延伸地浸没在覆盖冰层下方.他们应用 Green 积分定理简化 BVP,根据障碍物引起的势函数的导数,归结为一个超奇异的积分方程.接着, Parsons 和 Martin^[12]用一个有限项的 Chebyshev 级数近似满足未知函数后,用配置法求解超奇异积分方程.

本文将问题归结为一块竖直薄板浸没在覆盖冰层下的深水中,研究其对水波的散射.应用 Green 积分理论,将边值问题简化为,障碍物引起的势函数未知导数的超奇异积分方程.将未知函数所满足的积分方程,用一个有限的 Chebyshev 多项式近似后,超奇异积分方程应用配置法求解.该简化方程为一线性方程组,可以通过标准的方法求解.用超奇异积分方程的解,数值地评估反射系数和透射系数,并用图形描绘出波数的影响.

1 问题的公式表示

考虑被冰覆盖的不可压缩非粘性均匀流体,作二维的无旋转运动.选取直角坐标系, y -轴向下垂直指向流体区域($y \geq 0$), x -轴沿着覆盖冰层下边缘线与 y -轴正交.覆盖的冰层看作厚度为 h_i , 密度为 ρ_i 的弹性薄板,在 $x=0, a < y < b$ 处有一刚性薄板,浸没在覆盖冰层下方.一束速度势为 $\text{Re} \{ \phi^{\text{inc}}(x, y) e^{-i\sigma t} \}$ 的谐和波,从负无穷远处射向刚性薄板,其中

$$\phi^{\text{inc}}(x, y) = e^{-\lambda K y + i \lambda K x}, \quad (1)$$

σ 为角频率, $k = \lambda K$ 为如下色散关系的唯一实根:

$$(Dk^4 + 1 - \delta K)k - K = 0, \quad (2)$$

其中, $K = \sigma^2/g$, g 为重力加速度, $D = L/(\rho g)$, $L = Eh_i^3/[12(1 - \nu^2)]$ 为冰的弯曲刚度, E 和 ν 分别为覆盖冰层的弹性材料的弹性模量和 Poisson 比, ρ 为水的密度, $\delta = (\rho_i/\rho)h_i$.

方程(2)的其它各根为 $\lambda_1 K, \bar{\lambda}_1 K, \lambda_2 K$ 和 $\bar{\lambda}_2 K$, 且 $\text{Re } \lambda_1 > 0$ 和 $\text{Re } \lambda_2 < 0$. 根据线性理论,速度势为 $\text{Re} \{ \phi(x, y) e^{-i\sigma t} \}$ 时所描述的二维运动,其中 ϕ 应满足

$$\nabla^2 \phi = 0, \quad y \geq 0, \quad (3)$$

$$\left(D \frac{\partial^4}{\partial x^4} + 1 - \delta K \right) \phi_y + K \phi = 0, \quad y = 0, \quad (4)$$

$$\phi_x = 0, \quad x = 0, \quad a < y < b, \quad (5)$$

$$r = \{ (x - a)^2 + (y - b)^2 \}^{1/2} \rightarrow 0 \text{ 时, } r^{1/2} \nabla \phi \text{ 有界.} \quad (6)$$

远场条件为

$$\phi(x, y) \rightarrow \begin{cases} \phi^{\text{inc}}(x, y) + R\phi^{\text{inc}}(-x, y), & x \rightarrow -\infty, \\ T\phi^{\text{inc}}(x, y), & x \rightarrow \infty, \end{cases} \quad (7)$$

其中, R 和 T 分别为反射系数和透射系数.

考虑函数 $\psi(x, y)$:

$$\psi(x, y) = \phi(x, y) - \phi^{\text{inc}}(x, y), \quad (8)$$

其中 ψ 满足

$$\begin{aligned} \nabla^2 \psi &= 0, \quad y \geq 0, \\ \left(D \frac{\partial^4}{\partial x^4} + 1 - \delta K \right) \psi_y + K\psi &= 0, \quad y = 0, \\ \psi_x &= \frac{\partial}{\partial x} \phi^{\text{inc}}(0, y), \quad a < y < b, \\ r \rightarrow 0 \text{ 时, } r^{1/2} \nabla \psi &\text{ 有界,} \\ y \rightarrow \infty \text{ 时, } \nabla \psi &\rightarrow 0, \\ \psi(x, y) &\rightarrow \begin{cases} R\phi^{\text{inc}}(-x, y), & x \rightarrow -\infty, \\ (T-1)\phi^{\text{inc}}(x, y), & x \rightarrow \infty. \end{cases} \end{aligned} \quad (9)$$

设 (ξ, η) 处存在一线源, 那么源势 $G(x, y; \xi, \eta)$ 描述了冰层覆盖下水的运动. 根据文献 [13], $G(x, y; \xi, \eta)$ 的表达式为

$$\begin{aligned} G(x, y; \xi, \eta) &= \\ &- 2 \int_0^\infty \frac{e^{-ky} \{ (Dk^4 + 1 - \delta K) k \cosh k\eta - K \sinh k\eta \}}{k \{ (Dk^4 + 1 - \delta K) k - K \}} \cos k(x - \xi) dk = \\ &\ln \frac{r}{r'} - 2 \int_0^\infty \frac{(Dk^4 + 1 - \delta K) e^{-k(y+\eta)}}{(Dk^4 + 1 - \delta K) k - K} \cos k(x - \xi) dk, \end{aligned} \quad (10)$$

其中 $r, r' = \{ (x - \xi)^2 + (y - \eta)^2 \}^{1/2}$.

或者替换为

$$\begin{aligned} G(x, y; \xi, \eta) &= - 2 \int_0^\infty \frac{L(k, y) L(k, \eta)}{k \{ k^2 (1 - \delta K + Dk^4) + K^2 \}} e^{-k|x-\xi|} dk - \\ &2\pi i \frac{1}{\lambda (5DK^4 \lambda^4 - \delta K + 1)} e^{-K\lambda(y+\eta) + i\lambda K|x-\xi|} - \\ &2\pi i \frac{1}{\lambda_1 (5DK^4 \lambda_1^4 - \delta K + 1)} e^{-K\lambda_1(y+\eta) + i\lambda_1 K|x-\xi|} + \\ &2\pi i \frac{1}{\bar{\lambda}_1 (5DK^4 \bar{\lambda}_1^4 - \delta K + 1)} e^{-K\bar{\lambda}_1(y+\eta) - i\bar{\lambda}_1 K|x-\xi|}, \end{aligned}$$

其中 $L(k, y) = k(Dk^4 - \delta K + 1) \cos ky - K \sin ky$.

现在, 在直线: $y = 0, -X \leq x \leq X; x = \pm X, 0 \leq y \leq Y; y = Y, -X \leq x \leq X; x = 0, \pm a \leq y \leq b$, 和以 (ξ, η) 为圆心, 以 ε 为半径的圆弧为边界构成的区域内, 对谐和函数 $G(x, y; \xi, \eta)$ 和 $\psi(x, y)$ 应用 Green 积分定理, 并最终取 $X, Y \rightarrow \infty, \varepsilon \rightarrow 0$, 得到

$$2\pi\psi(\xi, \eta) = - \int_a^b f(y) \frac{\partial}{\partial x} G(0, y; \xi, \eta) dy, \quad (11)$$

其中

$$f(y) = \psi(+0, y) - \psi(-0, y) = \phi(+0, y) - \phi(-0, y), \quad y \in (a, b). \quad (12)$$

注意到方程(8), 方程(11)简化为

$$\phi(\xi, \eta) = \phi^{\text{inc}}(\xi, \eta) - \frac{1}{2\pi} \int_a^b f(y) \frac{\partial}{\partial x} G(0, y; \xi, \eta) dy, \quad (13)$$

其中, $\phi^{\text{inc}}(x, y)$ 在方程(1)给出.

由条件(5)和方程(1), 得到

$$\phi_\xi(0, \eta) = 0, \quad \eta \in (a, b)$$

和

$$\phi_{\xi}^{\text{inc}}(0, \eta) = -i\lambda K e^{-\lambda K \eta}, \quad \eta \in (a, b). \quad (14)$$

将上述结果代入方程(13), 得到

$$\int_a^b f(y) \frac{\partial^2}{\partial x \partial \xi} G(0, y; 0, \eta) dy = 2\pi K \lambda i e^{-\lambda K \eta}, \quad \eta \in (a, b). \quad (15)$$

由式(10), 有

$$G_{x\xi}(0, y; 0, \eta) = -\frac{1}{(y-\eta)^2} - \frac{1}{(y+\eta)^2} - 2K \int_0^{\infty} \frac{k e^{-k(y+\eta)}}{\Delta(k)} dk, \quad (16)$$

其中

$$\Delta(k) = k(Dk^4 - \delta K + 1) - K. \quad (17)$$

利用方程(16), 超奇异积分方程(15)变为

$$\begin{aligned} \int_a^b \left[\frac{1}{(y-\eta)^2} + \frac{1}{(y+\eta)^2} + \frac{2K^2 \pi i \lambda e^{-\lambda K(y+\eta)}}{5D(\lambda K)^4 + 1 - \delta K} + \right. \\ \left. 2K \int_0^{\lambda K} \frac{e^{-k(y+\eta)}}{k(Dk^4 - \delta K + 1) - K} dk + \right. \\ \left. 2K(\lambda K)^2 \int_0^1 \frac{e^{-(\lambda K/x)(y+\eta)} x^2 dx}{\lambda K(D\lambda^4 K^4 + x^4 - \delta K x^4) - K x^5} \right] f(y) dy = \\ -2\pi \lambda K i e^{-\lambda K \eta}, \quad a < \eta < b. \end{aligned} \quad (18)$$

为了求解上面的方程, 作如下替换:

$$\begin{cases} y = \frac{b+a}{2} + \frac{b-a}{2} t, \\ \eta = \frac{b+a}{2} + \frac{b-a}{2} t, \end{cases} \quad (19)$$

代入式(18), 得到

$$\int_{-1}^1 \left[\frac{1}{(t-u)^2} + L(u, t) \right] F(t) dt = h(u), \quad -1 < u < 1, \quad (20)$$

其中

$$\begin{aligned} L(u, t) = & \frac{(b-a)^2}{4(b+a)^2 + 4(b^2 - a^2)(t+u) + (b-a)^2(t+u)^2} + \\ & \frac{(b-a)^2}{2} \frac{K^2 \pi \lambda i e^{-\mu \lambda K}}{5D(\lambda K)^4 + 1 - \delta K} + \frac{(b-a)^2}{2} \int_0^{\lambda K} \frac{2K k e^{-k\mu}}{k(Dk^4 + 1 - \delta K) - K} dk + \\ & (\lambda K)^4 \frac{(b-a)^2}{4} 2K \int_0^1 \frac{e^{-(\lambda K/x)\mu} x^2 dx}{\lambda K(D\lambda^4 K^4 + x^4 - \delta K x^4) - K x^5}, \end{aligned} \quad (21)$$

$$\mu = b + a + \frac{b-a}{2}(t+u), \quad (22)$$

$$F(t) = f\left(\frac{b+a}{2} + \frac{b-a}{2} t\right), \quad -1 < t < 1, \quad (23)$$

$$F(\pm 1) = 0, \quad (24)$$

$$h(u) = -2\pi \lambda K i \frac{b-a}{2} e^{-\lambda K((b+a)/2 + (b-a)u/2)}, \quad -1 < t < 1. \quad (25)$$

根据文献[12]的方法, 假定

$$F(t) = (1-t^2)^{1/2} g(t), \quad (26)$$

使得 $F(\pm 1) = 0$. 这里, 边界函数 $g(t)$ 近似为

$$g(t) = \sum_{n=0}^N a_n U_n(t), \quad -1 < t < 1, \tag{27}$$

其中, $U_n(t)$ 为第二类 Chebyshev 多项式:

$$U_n(\cos \theta) = \frac{\sin(n+1)\theta}{\sin \theta}, \tag{28}$$

a_n 为待定的未知数.

将方程(26)和(27)代入方程(20), 有

$$\sum_{n=0}^N a_n A_n(u) = h(u), \quad -1 < u < 1, \tag{29}$$

其中

$$A_n(u) = -\pi(n+1)U_n(u) + \int_{-1}^1 (1-t^2)^{1/2} U_n(t)L(u,t) dt. \tag{30}$$

如下定义配置点 $u = u_j$ (参见文献[12]):

$$u_j = \cos \left\{ \frac{(j+1)\pi}{N+2} \right\}, \quad j = 0, 1, \dots, N,$$

也可以为

$$u_j = \cos \left\{ \frac{(2j+1)\pi}{2N+2} \right\}, \quad j = 0, 1, \dots, N.$$

这样, 方程(30)简化为线性方程组(31):

$$\sum_{n=0}^N a_n A_n(u_j) = h(u_j), \quad j = 0, 1, \dots, N. \tag{31}$$

现在, 就可以应用标准的方法, 求解关于 a_n 的线性方程组. 求得 a_n 后, 就可以求得 $g(t)$, 再由方程(26) 求得 $F(t)$. $F(t)$ 已知后, 由方程(23) 可求得 $f(t)$.

公式(11) 令 $\xi \rightarrow \pm \infty$, 并注意到 $\xi \rightarrow \pm \infty$ 时 $\psi(x, y)$ 的性质(见式(9)), 可以得到 R 和 T 如下:

$$R = - \int_a^b \frac{K e^{-K\lambda y}}{5DK^4\lambda^4 - \delta K + 1} f(y) dy, \tag{32}$$

$$T = 1 + \int_a^b \frac{K e^{-K\lambda y}}{5DK^4\lambda^4 - \delta K + 1} f(y) dy. \tag{33}$$

令 $y = (b+a)/2 + (b-a)t/2$,

并经过一些运算后, 有

$$R = - \frac{(b-a)K}{2} \sum_{n=0}^N a_n \int_{-1}^1 \frac{(1-t^2)^{1/2} U_n(t)}{5DK^4\lambda^4 - \delta K + 1} e^{-K\lambda((b+a)/2+(b-a)t/2)} dt, \tag{34}$$

$$T = 1 + \frac{(b-a)K}{2} \sum_{n=0}^N a_n \int_{-1}^1 \frac{(1-t^2)^{1/2} U_n(t)}{5DK^4\lambda^4 - \delta K + 1} e^{-K\lambda((b+a)/2+(b-a)t/2)} dt. \tag{35}$$

在求得 a_n 值之后, 上述公式就可以用来数值地评估 R 和 T .

2 数值结果

当无量纲参数 $D' = D/a^4, \delta' = \delta/a^4$ 和波数 Ka 取不同数值时, 对 $|R|$ 和 $|T|$ 进行数值计算. 在对反射系数 $|R|$ 进行数值计算时, 表达式(31) 中取 $N = 15$. 应用 Mathematica 软件, 对不同的积分结果进行评估, 如表 1 所示.

表 1 中 $|R_{\text{exact}}|$ 是文献[3] 给出的精确结果, 在 $b/a = 4$ 时, 自由表面(即 $D' = 0, \delta' = 0$) 水

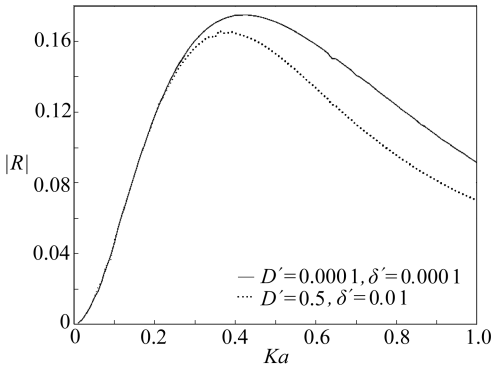
的反射系数随波数的变化. 表 1 同时给出了 D' , δ' 很小 ($D' = 0.0001$, $\delta' = 0.0001$) 时, 由式 (34) 计算的反射系数值.

表 1 反射系数 $|R|$ 的数值计算

Table 1 Numerical computation of the reflection coefficient $|R|$

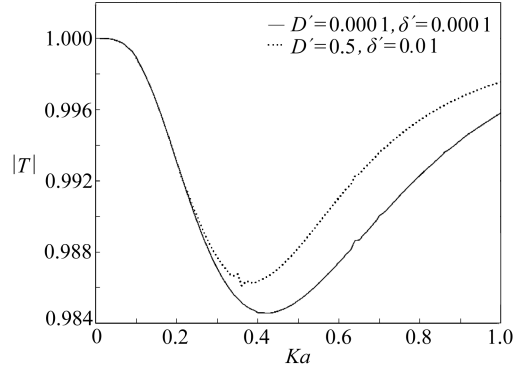
Ka	$ R_{\text{exact}} $	$ R $	Ka	$ R_{\text{exact}} $	$ R $
	$D' = 0,$ $\delta' = 0$	$D' = 0.0001,$ $\delta' = 0.0001$		$D' = 0,$ $\delta' = 0$	$D' = 0.0001,$ $\delta' = 0.0001$
0.01	0.000 709 8	0.000 714 2	0.35	0.170 347	0.170 379
0.05	0.014 959 9	0.015 165 2	0.40	0.174 585	0.174 611
0.10	0.047 756 2	0.046 083	0.45	0.174 403	0.174 422
0.15	0.084 700 6	0.084 845 9	0.50	0.171 004	0.171 018
0.20	0.117 640	0.117 580	1.00	0.091 450 3	0.091 412 6
0.25	0.143 025	0.143 069	1.50	0.038 470 5	0.038 401 1
0.30	0.160 293	0.160 345	2.00	0.015 189 1	0.015 127 5

从表 1 中可以发现, $|R_{\text{exact}}|$ 和 $|R|$ 在小数点后 3~4 位的数字基本相同, 这说明了超奇异积分方程数值求解方案的有效性.



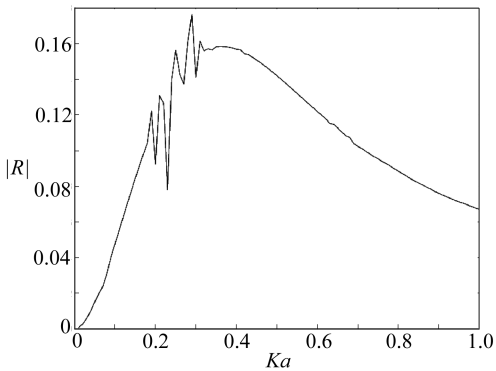
(a) $b/a = 4$ 时, $|R|$ 随 Ka 的变化

(a) $|R|$ against Ka for $b/a = 4$



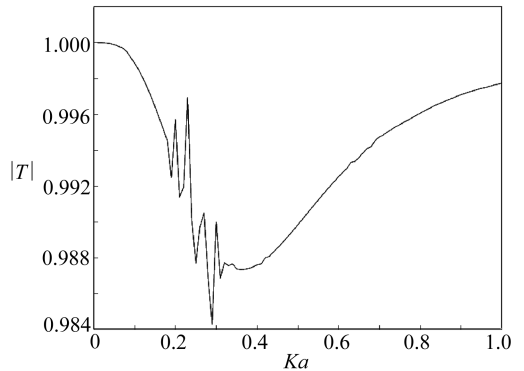
(b) $b/a = 4$ 时, $|T|$ 随 Ka 的变化

(b) $|T|$ against Ka for $b/a = 4$



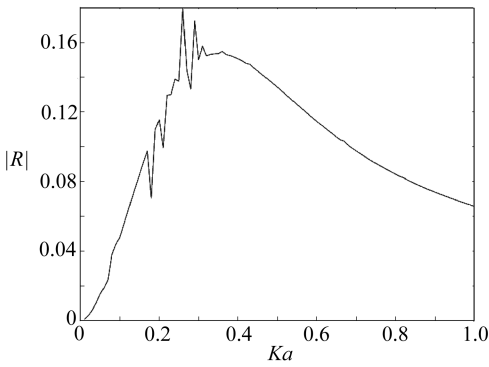
(c) $b/a = 4$, $D' = 1.0$, $\delta' = 0.01$ 时,
 $|R|$ 随 Ka 的变化

(c) $|R|$ against Ka for $b/a = 4$,
 $D' = 1.0$, $\delta' = 0.01$



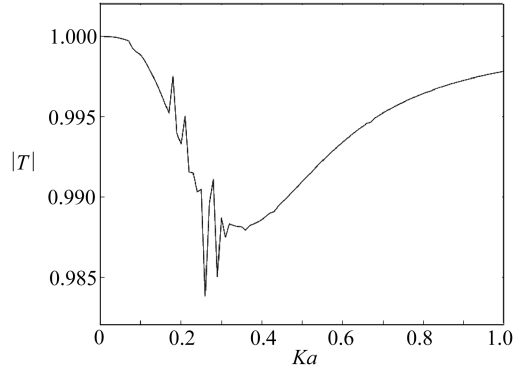
(d) $b/a = 4$, $D' = 1.0$, $\delta' = 0.01$ 时,
 $|T|$ 随 Ka 的变化

(d) $|T|$ against Ka for $b/a = 4$,
 $D' = 1.0$, $\delta' = 0.01$



(e) $b/a = 4, D' = 1.5, \delta' = 0.01$ 时,
 $|R|$ 随 Ka 的变化

(e) $|R|$ against Ka for $b/a = 4,$
 $D' = 1.5, \delta' = 0.01$

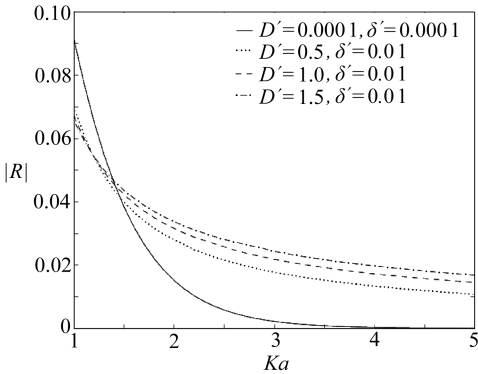


(f) $b/a = 4, D' = 1.5, \delta' = 0.01$ 时,
 $|T|$ 随 Ka 的变化

(f) $|T|$ against Ka for $b/a = 4,$
 $D' = 1.5, \delta' = 0.01$

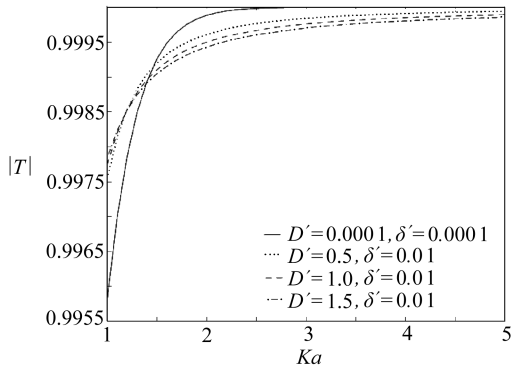
图 1 $|R|$ 和 $|T|$ 随 Ka 的变化

Fig. 1 $|R|$ and $|T|$ against Ka



(a) $b/a = 4$ 时, $|R|$ 随 Ka 的变化

(a) $|R|$ against Ka for $b/a = 4$



(b) $b/a = 4$ 时, $|T|$ 随 Ka 的变化

(b) $|T|$ against Ka for $b/a = 4$

图 2 $b/a = 4$ 时 $|R|$ 和 $|T|$ 随 Ka 的变化

Fig. 2 $|R|$ and $|T|$ against Ka for $b/a = 4$

当 $b/a = 4$, 图 1(a) 和图 1(b) 分别描绘出 $D' = 0.0001, \delta' = 0.0001$ 和 $D' = 0.50, \delta' = 0.01$ 时, $|R|$ 和 $|T|$ 随波数 Ka 的变化. 图 1(a) 可以发现, 当 Ka 从 0 增大到 1, $|R|$ 先是增大然后减小. 类似地, 图 1(b) 可以发现, 当 Ka 从 0 增大到 1, $|T|$ 先是减小然后增大. 这样的结果似乎是合理的, 因为波数越大, 相应的波就越短, 它们又被限制在覆盖冰层表面附近, 大部分被透射过障碍物. 图 1(a) 和图 1(b) 中还可以发现, 当 $0 < Ka < 0.15$ 时, $D' = 0.0001, \delta' = 0.0001$ 和 $D' = 0.5, \delta' = 0.01$ 两种情况, 相对应的 $|R|$ 值基本重合; 类似地, 当 $0 < Ka < 0.15$ 时, 图 1(b) 中的 $|T|$ 也有着类似的性质. 出现这种现象, 是因为波数越小, 相应的波长就越长, 长波传向海洋的底部, 不受覆盖冰层的影响. 当 Ka 从 0.15 开始继续增大, $|R|$ 随着 Ka 的增大而增大, 并达到一个峰值, 然后逐渐减小. 可以发现, 当 D' 从 0.0001 增大到 0.5, δ' 从 0.0001 增大到 0.01 时, $|R|$ 的峰值随之减少. 这表明, 覆盖冰层的存在, 削弱了波的反射. 类似地, 从图 1(b) 发现, 覆盖冰层的存在, 加强了波的透射.

当 $b/a = 4, \delta' = 0.01$, 图 1(a) 和图 1(e) 分别描绘出 $D' = 1.0$ 和 $D' = 1.5$ 时的 $|R|$ 值. 类

似地,图 1(d)和图 1(f)分别描绘出 $b/a = 4, \delta' = 0.01$ 和 $D' = 1.0, 1.5$ 时, $|T|$ 随 Ka 的变化情况. 从图 1(d) ~ 图 1(f) 中可以发现, $|R|$ 和 $|T|$ 间互补的特性. 事实上, 对图 1(a) ~ 图 1(e) 中所有的 D', δ' 和 Ka 值, 为能量恒等式 $|R|^2 + |T|^2 = 1$ 所检验.

图 1(c)和图 1(e)中, 对一个长度固定的障碍物, $|R|$ 值随着 Ka 的增大, 先出现增大, 后出现减小. 但是, 与图 1(a) 不同, 当 $0.15 < Ka < 0.3, D' = 1.0$ 和 1.5 时, $|R|$ 值出现强烈的振荡. 在图 1(d)和图 1(f)中, 对于这些 D' 和 δ' 值, $|T|$ 值也存在着相似的震荡特性. $|R|$ 和 $|T|$ 的这些奇特性, 可以归因于覆盖冰层的弹性特性. 随着覆盖冰层弯曲刚度的增大, 波在覆盖冰层和浸没其间的障碍物之间交互作用下, 造成 $|R|$ 和 $|T|$ 值产生剧烈的起伏.

图 2(a)和图 2(b)中, 分别描绘出 $b/a = 4, Ka > 1, D' = 0.0001, \delta' = 0.0001$ 和 $D' = 0.5, 1.0, 1.5, \delta' = 0.01$ 时 $|R|$ 和 $|T|$ 的变化情况. 从图 2(a)和图 2(b)可以发现, $|R|$ 随着 Ka 的增大而减小, 而 $|T|$ 则随着 Ka 的增大而增大. 而且, 与 $D' = 0.5, 1.0, 1.5, \delta' = 0.01$ 时相比较, $D' = 0.0001, \delta' = 0.0001$ 时, 无论是 $|R|$ 的减小, 还是 $|T|$ 的增大, 变化都十分急剧. 因覆盖冰层弯曲刚度的增大, $|R|$ 的缩减率和 $|T|$ 的增长率都出现了下降.

当覆盖冰层参数 $D' = 1.5$ 和 $\delta' = 0.01$ 时, 图 3 分别描绘出 $b/a = 4, 10, 15$ 时的 $|R|$ 随着 Ka 的变化. 可以发现, Ka 处于 $0.1 \sim 0.3$ 时, $|R|$ 显示急剧变化. 还可以发现, 随着板的长度的增大, $|R|$ 的最大峰值也在增大. 这表明, 板的长度越长, 反射系数波震荡峰值越高.

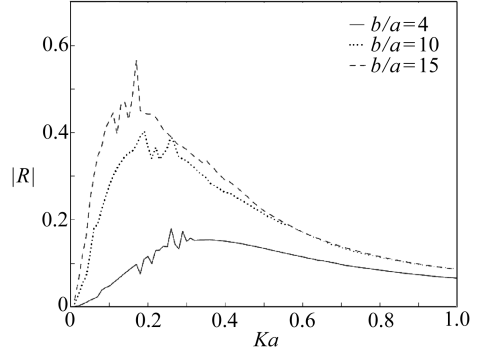


图 3 $D' = 1.5, \delta' = 0.01$ 时, $|R|$ 随 Ka 的变化
Fig. 3 $|R|$ against Ka for $D' = 1.5, \delta' = 0.01$

3 讨 论

应用超奇异积分方程的方法, 在一个覆盖着冰层深度无限的水中, 研究浸没其间的垂直薄板障碍物对水波的散射. 使用超奇异积分方程的近似解, 数值计算了反射系数 $|R|$ 和透射系数 $|T|$. 用图形给出了覆盖冰层的存在对 $|R|$ 和 $|T|$ 的影响. 可以发现, $|R|$ 和 $|T|$ 间互补的特性, $|R|$ 和 $|T|$ 需满足能量等式 $|R|^2 + |T|^2 = 1$. 由于覆盖冰层的存在, 当 Ka 在 $0.15 \sim 0.3$ 之间时, 随着覆盖冰层弯曲刚度的增大, $|R|$ 或 $|T|$ 值都有急剧变化. 还可以发现, 由于平板长度的增大, 更多的波能被反射出去.

本文的结果是基于线性理论, 被认为是此类研究的基准. 也可以看成覆盖冰层水中波的非线性散射问题, 但它组成为单独的一类问题. 最近, Marchenko 和 Shrira^[14] 研究了流体在为冰层覆盖时的二维非线性波, 沿着这个方向可以进行更进一步的研究.

参考文献:

[1] Dean W R. On the reflexion of surface waves by a submerged plane barrier[J]. *Math Proc Camb Phil Soc*, 1945, **41**: 231-238.
 [2] Ursell F. The effect of a fixed vertical barrier on surface waves in deep water[J]. *Math Proc Camb Phil Soc*, 1947, **43**: 374-382.
 [3] Evans D V. Diffraction of surface waves by a submerged vertical plate[J]. *J Fluid Mech*, 1970, **40**: 433-451.

- [4] Fox C, Squire V A. On the oblique reflection and transmission of ocean waves at shore fast sea-ice[J]. *Phil Trans R Soc Lond A*, 1994, **347**(1682): 185-218.
- [5] Squire V A. Of ocean waves and sea ice revisited[J]. *Cold Regions Science and Technology*, 2007, **49**(2): 110-133.
- [6] Chung H, Fox C. Calculation of wave-ice interaction using the Wiener-Hopf technique[J]. *New Zealand J Math*, 2002, **31**: 1-18.
- [7] Linton C M, Chung H. Reflection and transmission at the ocean/sea-ice boundary[J]. *Wave Motion*, 2003, **38**(1): 43-52.
- [8] Chakrabarti A. On the solution of the problem of scattering of surface water waves by the edge of an ice-cover[J]. *Proc R Soc Lond A*, 2000, **456**(1997): 1087-1099.
- [9] Gayen R, Mandal B N, Chakrabarti A. Water wave scattering by an ice-strip[J]. *J Engg Maths*, 2005, **53**(1): 21-37.
- [10] Das D, Mandal B N. Wave scattering by a horizontal circular cylinder in a two-layer fluid with an ice-cover[J]. *Internat J Engrg Sc*, 2007, **45**(10): 842-872.
- [11] Maiti P, Mandal B N. Wave scattering by a thin vertical barrier submerged beneath an ice-cover in deep water[J]. *Applied Ocean Research*, 2010, **32**(4): 367-373.
- [12] Parsons N F, Martin P A. Scattering of water waves by submerged plates using hypersingular integral equations[J]. *Applied Ocean Research*, 1992, **14**(5): 313-321.
- [13] Chowdhury R. Water wave scattering by obstacles and surface discontinuities[D]. Ph D thesis. Calcutta University, 2004.
- [14] Marchenko A V, Shrira V I. Theory of two-dimensional nonlinear waves in liquid covered by ice[J]. *F Dyn Res*, 1991, **26**(4): 580-587.

Scattering of Water Waves by a Thin Vertical Plate Submerged Below Ice-Cover Surface

Paramita Maiti¹, Puspendu Rakshit², Sudeshna Banerjea¹

(1. *Department of Mathematics, Jadavpur University, Kolkata-700032, India;*

2. *Deshapran Birendranath Institution for Boys, 198-B S. P. Mukherjee Road, Kolkata-700026, India)*

Abstract: Scattering of water waves by a vertical plate submerged in deep water covered with a thin uniform sheet of ice, modelled as an elastic plate was concerned. The problem was formulated in terms of a hypersingular integral equation by a suitable application of Green's integral theorem, in terms of difference of potential functions across the barrier. This integral equation was solved by collocation method using a finite series involving Chebyshev polynomials. The reflection and transmission coefficients were obtained numerically and presented graphically for various values of the wave number and ice cover parameter.

Key words: scattering problem; ice-cover surface; Green's integral theorem; hypersingular integral equation; reflection and transmission coefficients